



## بررسی شیمی کانی و دما فشار سنگی درشت بلورهای پلازیوکلاز، پیروکسن و آمفیبول سنگ‌های آتشفسانی حسین‌آباد (جنوب شرقی ابهر)

مسعود نظری<sup>۱</sup>، محمد علی آرین<sup>۲\*</sup>، علی سلگی<sup>۱</sup>، رضا زارعی سهامیه<sup>۳</sup>، عبدالله یزدی<sup>۴</sup>

۱- گروه زمین‌شناسی، واحد علوم و تحقیقات، دانشگاه آزاد اسلامی، تهران، ایران

۲- گروه زمین‌شناسی، واحد تهران شمال، دانشگاه آزاد اسلامی، تهران، ایران

۳- گروه زمین‌شناسی، دانشگاه لرستان، خرم‌آباد، ایران

۴- گروه زمین‌شناسی، واحد کهنوج، دانشگاه آزاد اسلامی، کهنوج، ایران

(دریافت مقاله: ۱۴۰۲/۶/۲۶، نسخه نهایی: ۱۴۰۲/۸/۶)

چکیده: منطقه حسین‌آباد در ۱۲۰ کیلومتری جنوب شرقی زنجان واقع است. سنگ‌های آتشفسانی در این منطقه دارای سن ائوسن و جوانتر از آن هستند. سنگ‌های آتشفسانی طیفی از گدازه‌های داسیتی، تراکی آندزیتی و آندزیتی به همراه توف را شامل می‌شوند. از نظر کانی‌شناسی، سنگ‌های آتشفسانی مورد بررسی دارای کوارتز، فلدسپات قلیایی، پلازیوکلاز، فراوان، پیروکسن و آمفیبول هستند. فلدسپات قلیایی از نوع سانیدین و پلازیوکلازها از نوع الیکوکلاز و آندزین هستند. بافت‌های پورفیری، پورفیری ریزسنگی، گلومروپورفیری و خال بافت در این سنگ‌ها غالب هستند. بررسی شیمی کانی‌های سنگ‌های منطقه نشان می‌دهد که ترکیب کلینوپیروکسن‌های این سنگ‌ها از انواع دیوپسید و اوژیت است. آمفیبول موجود در این سنگ‌ها از نوع ماگمایی و کلسیمی و دارای ترکیب شیمیایی پارگازیت است. بر اساس نمودارهای تعیین نوع ماگما، ماگمای سازنده سنگ‌های آتشفسانی منطقه مورد بررسی قلیایی است. نمودارهای دما-فشارسنگی بر پایه‌ی ترکیب پلازیوکلاز، پیروکسن و آمفیبول نشان‌دهنده دمای ۷۰۰ تا ۷۵۰ درجه سانتیگراد و فشار ۵ تا ۶ کیلوبار هستند که با ژرفای پوسته میانی-زیرین همخوانی دارد. از این رو، این سنگ‌ها در یک کرانه فعال قاره‌ای تشکیل شده‌اند.

واژه‌های کلیدی: دما فشارسنگی؛ آمفیبول؛ پلازیوکلاز؛ سنگ‌های آتشفسانی؛ ابهر.

شکل‌گیری یک ماگما به دست می‌دهند. با بررسی کانی‌ها و اجزاء تشکیل دهنده سنگ‌ها، می‌توان ترکیب ماگمای مادر، دمای تشکیل، نرخ صعود ماگما و ویژگی‌های فرایندهای موثر در سامانه باز را شناسایی کرد. بررسی ترکیب درشت بلورها می‌تواند در شناسایی فرایندهایی چون هضم و آمیختگی ماگمایی [۱-۳] و زمین دما فشارسنگی [۴] مفید باشد.

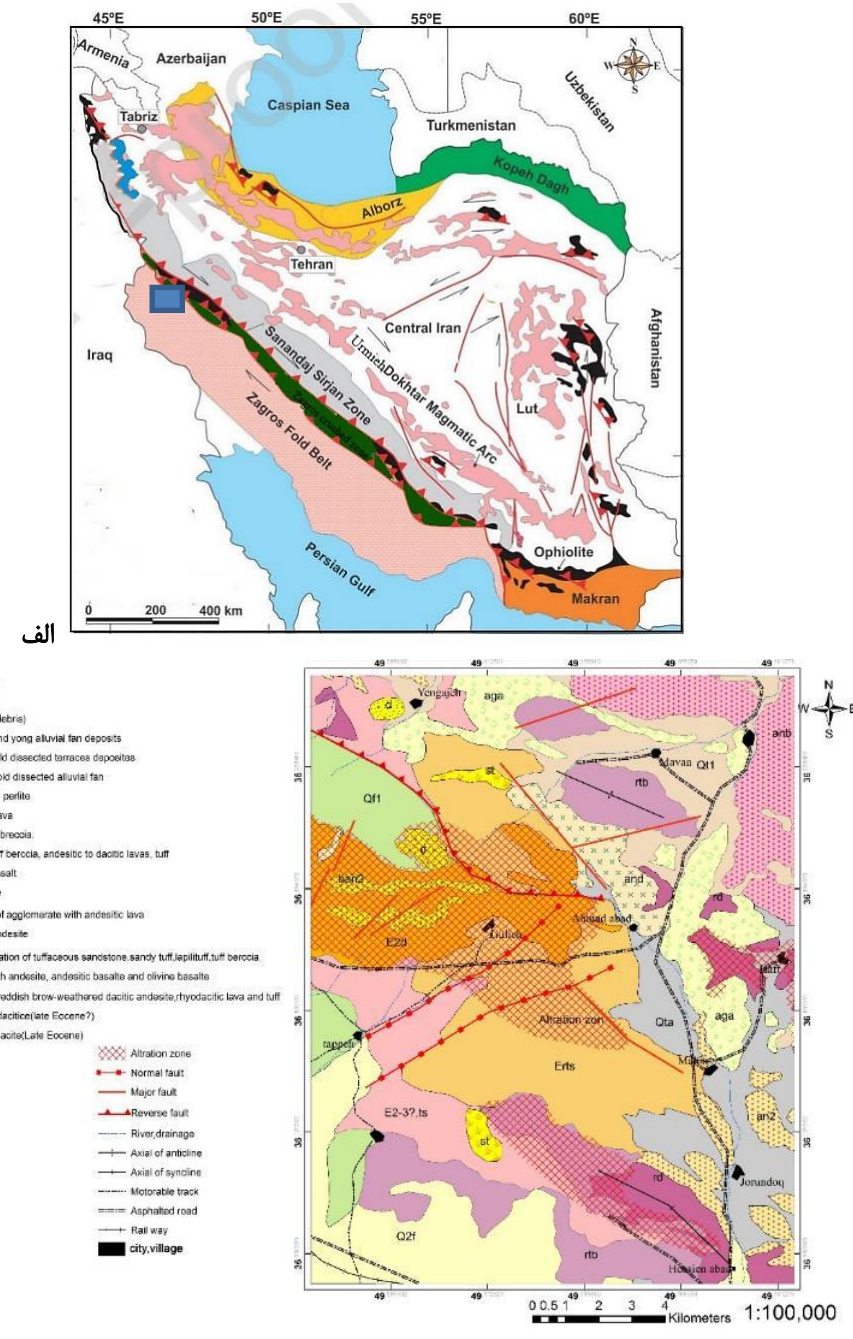
تعدادی از پژوهشگران [۵، ۶] تشکیل سنگ‌های آتشفسانی ائوسن در البرز و منطقه مورد بررسی که جزئی از طارم است را در ارتباط با پدیده فورانش می‌دانند. طی سنوزوئیک به علت فازهای فشارشی پیرینه و استرین پیش از تشکیل اقیانوس،

مقدمه  
یکی از اهداف اصلی سنگ‌شناسی، تعیین دما و فشار تشکیل سنگ‌های آذرین و دگرگونی است که در سال‌های اخیر رشد چشمگیری داشته است. به این منظور، پژوهشگران از کانی‌های مختلفی چون پلازیوکلاز، آمفیبول، پیروکسن، بیوتیت استفاده می‌کنند. البته استفاده از ترکیب کانی‌های معین و نیز کانی‌های همزیست می‌تواند برای بررسی سنگ‌زایی و شکل‌گیری ماگمایی و همچنین مولفه‌های دما، فشار و گریزندگی اکسیژن ماگمایی در حال تبلور مناسب‌تر باشد. کانی‌های سنگ‌های آذرین در این مقاله مورد تاریخ تکامل و

\*نویسنده مسئول، تلفن: ۰۹۱۲۳۷۸۸۳۷۸، پست الکترونیکی: mohamadalarian049@gmail.com

موقعیت پهنه ماقمایی طارم در پهنه‌های ساختاری شمال ایران، به همراه موقعیت منطقه مورد بررسی مشخص شده است. در این پژوهش، شیمی کانی‌ها، دما، فشار و گریزندگی اکسیژن ماقمایی مادر سنگ‌های آتشفشاری و آذرآواری منطقه و محیط زمین ساختی ماقمایی تشکیل آنها بررسی شده است.

مجموعه کافت درون قاره‌ای در حال تشکیل بسته شده‌اند [۸,۷]. همچنین برخی پژوهشگران علت فعالیت ماقمایی سوزوئیک ایران را وجود تیغه‌های گرمایی در زیر قطعه ایران مشابه شرق آفریقا دانسته‌اند. برخی نیز یک محیط کششی پشت کمان را برای پهنه البرز در ائوسن مطرح نموده‌اند [۹,۱۰]. در نقشه زمین‌ساختی ساده شده ایران، (شکل ۱)



شکل ۱- الف- نقشه زمین شناسی ساده شده ایران [۱۱] بر اساس سن‌سنگی اورانیوم-سرب زیرکن سنگ‌های پرکامبرین ایران [۱۲]. ب- نقشه زمین شناسی منطقه مورد بررسی با کمی تغییر نسبت به نقشه زمین شناسی ایران.

شامل پادگانه‌های آبرفتی درهم ریخته قدیمی (Q1t) و تالوس یا قطعه‌های سنگی (Qta) هستند که به صورت سنگلاخی و سنگریزه در دامنه یافت می‌شوند. شکل ۱ ب نقشه زمین‌شناسی منطقه مورد بررسی را نشان می‌دهد.

#### روش بررسی

طی پیمایش‌های صحرایی، با نمونه‌برداری اصولی، تعداد ۱۰۰ نمونه برداشت و ۵۰ مقطع نازک از آنها تهیه و بررسی شد. برای بررسی‌های دماfasharسنگی بر سنگ‌های منطقه، تعداد ۶ مقطع نازک-صیقلی انتخاب و ۱۵ تجزیه نقطه‌ای از کانی‌های آمفیبیول، پیروکسن و پلازیوکلاز به روش ریزپردازشی (EPMA) انجام شد. تجزیه نقطه‌ای کانی‌ها با ریزپردازش الکترونی با کاوشگر پرتوی ایکس (XPMA) در کانسaran بینالود با دستگاه HORIBA مدل XGT-7200، با ولتاژ شتاب دهنده ۵۰kV و شدت جریان ۱Am در نقاطی به قطر صد میکرون و در مدت زمان هشتاد ثانیه برای هر نقطه انجام شد.

#### سنگنگاری

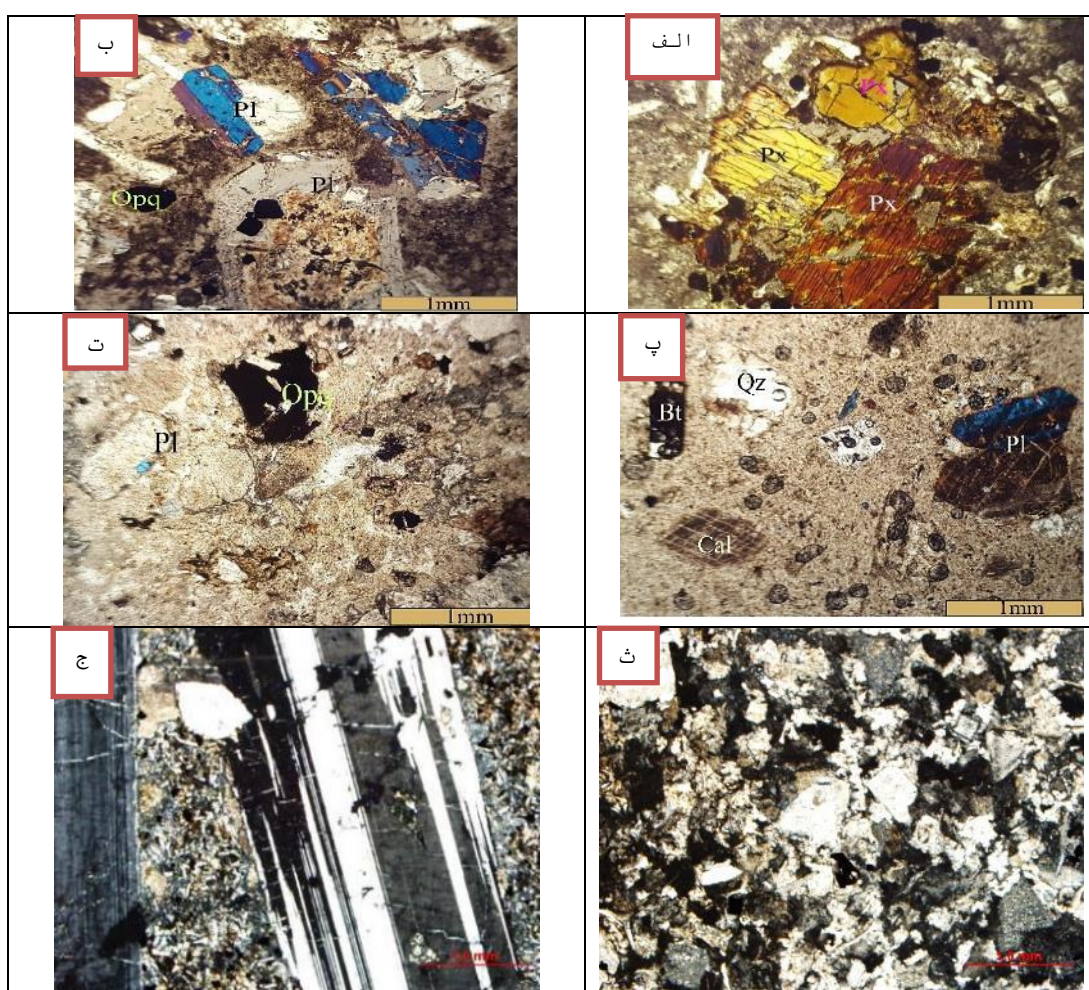
براساس بررسی‌های سنگنگاری انجام شده بر نمونه‌های برداشت شده، سنگ‌های آتشفسانی این منطقه شامل آندزیت، تراکی آندزیت، تراکیت، داسیت، توف آندزیتی، توف تراکیتی، تراکی آندزیتی و توف ریوداسیتی - داسیتی هستند. که در ادامه، ویژگی‌های هر یک از این گروه‌ها شرح داده شده است. تراکی آندزیتها در نمونه‌های دستی به رنگ خاکستری مایل به تیره دیده می‌شوند و ریز بلور و گاهی بدون بلور هستند. پلازیوکلازها (۲۵-۲۰ درصد حجمی) دارای ماکل چندریخت هستند و به کلسیت، کلریت، آلبیت و اپیدوت دگرسان شده‌اند. فلدسپات قلیایی (۱۰ درصد حجمی) اغلب نیمه شکل‌دار بوده و از نوع سانیدین با ماکل کارلسbad است. بلورهای بیوتیت بیشتر بی شکل تا نیمه شکل‌دار هستند. پیروکسن‌ها (۱۰-۵ درصد حجمی) به صورت ریز بلور دیده می‌شوند، از نوع اوژیت هستند و بیشتر به آمفیبیول اورالیتی تبدیل شده‌اند. افزون بر این، آمفیبیول اولیه به مقدار ۵ درصد حجمی دیده می‌شود. اکسیدهای آهن شامل مگنتیت، هماتیت و لیمونیت هستند که از کانی‌های فرعی این سنگ‌ها محسوب می‌شوند. کانی‌های ثانویه این سنگ‌ها کلسیت، کلریت، اپیدوت و اکسیدهای آهن هستند که از تجزیه پلازیوکلازها و کانی‌های فرومیزین شکل گرفته‌اند (شکل ۲ الف).

#### زمین‌شناسی منطقه

منطقه حسین آباد شامل بخش جنوب شرقی نقشه ۱:۱۰۰۰۰۰ ابهر بوده که در ۱۲۰ کیلومتری جنوب شرقی زنجان و در جنوب آزادراه تهران-تبریز واقع است. این منطقه از دید زمین‌شناسی مربوط به چارگوش زنجان بوده و از نظر تقسیمات زمین‌شناسی و ساختاری ایران به گزارش استوکلین [۱۱] از ایران مرکزی و به باور نبوی [۱۳] از البرز غربی محسوب می‌شود. سن واحدهای سنگی رخمنون یافته در گستره چارگوش زنجان از قدیم به جدید شامل پرکامبرین تا کواترنری است ولی سنگ‌های آتشفسانی در این منطقه گستردۀ دارای سن ائوسن هستند و سنگ‌های با سن قدیمی‌تر دیده نمی‌شوند. فعالیت ماگمایی ستوزؤئیک البرز که بیشتر به سن پائوژن مربوط است، از نظر تقسیم‌های چینه‌شناسی معادل سازند کرج محسوب می‌شود [۱۴، ۱۱]. بیشترین پراکندگی سنگ‌های آتشفسانی در این منطقه پیرامون روستاهای چناسوند، چنگور، حسین آباد و جورون داغ دیده می‌شود. روستاهای زاجکان، یوزباشی‌چای و مغول‌آباد در شمال ورقه ابهر واقع بوده و مربوط به بخش طارم سفلی هستند. در توف‌های آتشفسانی شمال ابهر، سنجواره نومولیت گزارش کرده‌اند [۱۵]. اسماعیلی و همکاران [۱۶] مجموعه آتشفسانی و آتشفسان آواری بخش شمالی چارگوش زنجان را با توجه به همبستگی سنگ چینه‌ای قابل مقایسه با سازند کرج دانسته‌اند. از دیدگاه سنگ چینه‌ای، واحدهای سنگی منطقه را می‌توان به دو بخش سنگ‌های آتشفسانی و آذرآواری (سازند کرج) و توده‌های نفوذی و نیمه عمیق شبیه آتشفسانی تقسیم نمود.

سنگ‌های آتشفسانی بیشتر شامل گدازه‌های داسیتی، تراکی آندزیتی و آندزیتی به همراه توف‌های داسیتی و تراکی آندزیتی، لاپیلی توف‌ها و برش‌ها هستند. سنگ‌های آتشفسانی پائوژن ضخامت زیادی دارند و بیشتر طی سه فاز آتشفسانی تشکیل شده‌اند. فاز نخست با سن ائوسن شامل گدازه‌ها و آذرآواری‌های سازند کرج، توف‌های زیردریایی همراه رسوب‌ها است (سازند کرج) که به دو عضو کردکند و آمند تقسیم می‌شود.

در این منطقه، بررسی‌های صحرایی نشان داده است که از سازند کرج فقط سه عضو Ea4-Ea6-Ea5 حضور دارند که مربوط به مجموعه آمند بوده [۱۷، ۱۶] و از نظر سنی واپسیه به ائوسن هستند. سازندهای قدیمی‌تر با سنگ‌های آتشفسانی پائوژن پوشیده شده‌اند. واحدهای کواترنری در این منطقه



شکل ۲ الف- حضور بلورهای پلازیوکلاز و پیروکسن در آندزیت. ب-بلورهای پلازیوکلازشکل دارتا نیمه شکل دار و کانی های کدر در تراکیت. پ- بلورهای پلازیوکلاز، بیوتیت، کلسیت و کوارتز در داسیت. ت-پلازیوکلازهای دگرسان شده و کانی کدر در توف آندزیتی. ث-حضور کانی های پلازیوکلاز، پیروکسن و کانی های کدر در تراکی آندزیت. ج-پلازیوکلازهای سوسوریتی شده به همراه کانی های مافیک در توف تراکی آندزیتی یا آندزیتی. همه تصاویر در نور قطبیده مقاطع (XPL) ثبت شده‌اند.

میکروسکوپ دارای درشت بلورهای پلازیوکلاز (۲۰-۱۵ درصد حجمی) بهشدت دگرسان شده و بلورهای پیروکسن (۵-۱۰ درصد حجمی) نیمه شکل دار هستند (شکل ۲ ب). کانی های پیروکسن اغلب دگرسان شده و فقط آثاری از آن باقی مانده است. کانی های ثانویه این سنگها را کلسیت، کلریت، کانی های رسی و اکسیدهای آهن تشکیل می‌دهند که از دگرسان شدن پلازیوکلاز و پیروکسن شکل گرفته‌اند. آنها دارای بافت پوروفیری هستند.

داسیت‌ها در نمونه دستی به رنگ خاکستری روشن دیده می‌شوند. آنها در زیر میکروسکوپ دارای بلورهای پلازیوکلاز در یک زمینه شیشه‌ای و ریزبلور هستند. پلازیوکلاز (۲۰-۲۵ درصد حجمی) به صورت نیمه شکل دار و بی‌شکل است. کانی های مافیک این سنگها آمفیبیول (۱۰-۵ درصد حجمی) و

آندزیت‌ها در نمونه دستی به رنگ‌های خاکستری تا خاکستری مایل به صورتی دیده می‌شوند. آنها بافت پوروفیری و گلومروپوروفیری دارند و در زیر میکروسکوپ دارای درشت بلورهای پلازیوکلاز و پیروکسن در یک زمینه شیشه‌ای و ریز بلور هستند. پلازیوکلازها (۳۰-۲۵ درصد حجمی) نیمه شکل دار تا شکل دار و دارای ماکل چندريخت هستند و گاهی منطقه‌بندي یا ساختمنطقه‌ای نشان می‌دهند. بلورهای پیروکسن (۲۰-۱۵ درصد حجمی) اغلب نیمه شکل دار و ریز بلور تا متوسط بلور هستند. اپیدوت، کلسیت، سریسیت، کلریت و اکسیدهای آهن کانی های ثانویه این سنگها بوده که برآمده از دگرسانی پلازیوکلازها و پیروکسن هستند.

تراکیت‌ها در صحراء در نمونه دستی به رنگ خاکستری و صورتی تا خاکستری کم رنگ دیده می‌شوند. آنها در زیر

کلسیت، زئولیت و اکسیدهای آهن تشکیل می‌دهند. پلازیوکلازها از عمدۀ ترین کانی‌های اصلی این توف‌ها هستند که اغلب همه آنها دگرسان شده‌اند. آنها ریز بلور تا متوسط بلور بوده و دارای ماکل چندربخت هستند که در راستای ماکل‌ها اغلب دگرسان شده‌اند. کانی‌های فرعی سنگ اکسیدهای آهن هستند که در زمینه سنگ دیده می‌شوند. کانی‌های ثانویه این سنگ‌ها سنگ‌ها کلسیت، کلریت، اپیدوت و اکسیدهای آهن هستند که زمینه سنگ را تشکیل داده‌اند (شکل‌های ۲، ۳، ۴). بافت سنگ پورفیری و ریزسنگی است.

#### شیمی کانی‌ها

در جدول‌های ۱، ۲، ۳ و ۴ نتایج تجزیه کانی‌های پلازیوکلاز، پیروکسن و آمفیبول ارائه شده است.

پیروکسن: ترکیب شیمیایی درشت‌بلورهای کلینو پیروکسن در تراکی آندزیت‌ها  $En_0\,Fs_{5.41}\,Wo_{15.06}$  تا  $En_{13.27}\,Fs_{71.68}\,Wo_{51.18}$  و آندزیت‌ها در  $En_0\,Fs_{1.92}\,Wo_{53.93}$  است. چنان‌که در شکل ۳ دیده می‌شود، پیروکسن‌ها در نمونه‌های مورد بررسی از انواع کلسیم-سدیم دار هستند [۱۸]. با استفاده از نرم افزار اکسل (Spreadsheet)، نوع کانی‌های کلینو پیروکسن، محاسبه شد که نتایج آن در ادامه آورده شده است.

در نمودار مرجع [۱۹]، نمونه‌ها بیشتر در گستره بازالت‌های آهکی قلیایی و قوس آتش‌شناسی قرار می‌گیرند (شکل‌های ۴ الف و ب). نمونه‌ها براساس نمودار تعیین محیط زمین‌ساختی [۲۰]، در محیط بازالت‌های قوس آتش‌شناسی (VAB) و بر پایه نمودار مرجع [۲۱] در محیط برخورد واقع می‌شوند (شکل‌های ۴ پ و ت).

کلینوپیروکسن‌های سنگ‌های قلیایی نسبت به سنگ‌های تولئیتی دارای غنی‌شدگی از  $TiO_2$  و  $Na_2O$  و تهی‌شدگی از  $Cr_2O_3$  هستند [۲۲]. این امر در ترکیب شیمیایی کلینوپیروکسن‌های منطقه مورد بررسی دیده می‌شود. در ذوب بخشی گوشه‌ای، عنصرهای سدیم و تیتانیوم ناسازگارند و فاز مذاب را ترجیح می‌دهند. از این رو، تمرکز کمتر  $TiO_2$  در مذاب با خاستگاه گوشه‌تهی شده و مقادیر بالاتر آن با خاستگاه غنی شده یا کمتر تهی شده به گوشه‌های ژرف بازالت جزایر قوسی (OIB) [۲۳] یا گوشه‌های دگرسان شده زیر قاره‌ای [۲۴] نسبت داده می‌شود. بر اساس ویژگی‌های شیمی کانی پیروکسن در سنگ‌های منطقه، می‌توان نتیجه گرفت که ماقمای سازنده این سنگ‌ها از یک گوشه‌های غنی شده شکل

بیوتیت هستند که بیوتیت‌ها بر اثر دگرسانی شدید قابل شناسایی نیستند و قالب تیره رنگ آن‌ها باقی مانده است. کوارتز به مقدار ۲۰-۲۵ درصد حجمی و همچنین به صورت ریز بلور در زمینه سنگ دیده می‌شود. کانی ثانویه این سنگ‌ها اکسیدهای آهن از نوع هماتیت و مگنتیت هستند. کلسیت، کلریت و سریسیت به همراه اکسیدهای آهن و نیز بقاوی‌ای از آمفیبول و بیوتیت در زمینه سنگ دیده می‌شوند (شکل ۲ پ). بافت سنگ پورفیری است.

توف ریوداسیتی در نمونه دستی به رنگ خاکستری تا خاکستری تیره دیده می‌شود. این سنگ در زیر میکروسکوپ به شدت دگرسان شده دیده می‌شود. زمینه آن را کلسیت، زئولیت و اکسیدهای آهن فرا گرفته است. بافت سنگ شیشه‌ای ریزسنگی پورفیری است. پلازیوکلازها از عمدۀ ترین کانی‌های ریزسنگی پورفیری هستند. پلازیوکلازها از عمدۀ ترین کانی‌های ریزمند به زحمت قابل شناسایی هستند. بلورهای ریزکوارتز در زمینه سنگ پراکنده هستند. هیچ کانی اصلی دیگری شناسایی نشد. کانی‌های ثانویه این توف‌ها کلسیت، کلریت، اکسیدهای آهن و کانی‌های رسی هستند که زمینه سنگ را تشکیل داده‌اند. حفره‌های سنگ با زئولیت پر شده‌اند و قطعه‌های سنگی در زمینه سنگ دیده می‌شوند.

توف آندزیتی در نمونه دستی به رنگ خاکستری تا صورتی کم رنگ دیده می‌شود. این سنگ در زیر میکروسکوپ دارای درشت بلورهای پلازیوکلاز در یک زمینه ریزبلور و ریزسنگی است و بافت‌های پورفیری و پورفیری ریزسنگی دارد. بلورهای پلازیوکلاز دارای ماکل چندربخت هستند. آنها در لبه‌ها و در راستای ماکل‌ها تجزیه شده و به کلسیت، سریسیت و اپیدوت تبدیل شده‌اند. پیروکسن به شدت دگرسان شده و به اپیدوت تبدیل شده است. اکسیدهای آهن کانی فرعی سنگ را شامل می‌شوند. کانی‌های ثانویه این سنگ‌ها کلریت، کلسیت، اپیدوت به همراه اکسیدهای آهن نوع گوتیت، هماتیت و مگنتیت هستند که از تجزیه پلازیوکلازها و کانی‌های مافیک شکل گرفته‌اند. شکستگی بلورها و لایه‌بندی در زمینه این سنگ‌ها تفاوت آن‌ها با گدازه‌های آندزیتی است.

توف تراکیتی یا تراکی آندزیتی در نمونه دستی به رنگ خاکستری تا خاکستری تیره دیده می‌شود. این سنگ‌ها در زیر میکروسکوپ به شدت دگرسان شده دیده می‌شوند. زمینه را

نوع کانی‌های تبلور یافته نیز تاثیرگذار است. براساس نمودار  $\text{Al}^{\text{IV}}+\text{Na}$  نسبت به  $\text{Al}^{\text{VI}}+2\text{Ti}+\text{Cr}$  که خود تابعی از مقدار آهن ۳ ظرفیتی پیروکسن‌هاست (شکل ۵)، می‌توان مقدار گریزندگی اکسیژن را بدست آورد [۳۲].

گرفته و از نظر زمین‌ساختی در یک محیط کرانه قاره تشکیل شده است. گریزندگی اکسیژن اثر ویژه‌ای در تغییر دمای ذوب و ترکیب مذاب و بلور دارد [۲۵] و عامل موثری در کنترل فرایندهای ماقمایی بوده [۳۱-۲۶] و همچنین بر توالی تبلور و

جدول ۱ نتایج تجزیه ریزپردازشی کانی پیروکسن (بر حسب درصد وزنی).

نمونه	M-01	M-07	M-02	M-03	M-04	M-06
سنگ	دادست					
$\text{SiO}_2$	۶۵,۲۸	۶۵,۸۹	۶۶,۵۳	۶۴,۳۶	۵۹,۸۵	۵۹,۳۸
$\text{TiO}_2$	۰,۴۵	۰,۴۴	۰,۴۵	۰,۴۵	۰,۵۷	۰,۵۶
$\text{Al}_2\text{O}_3$	۱۵,۳۴	۱۵,۷۴	۱۵,۲۸	۱۵,۹	۱۶,۳۲	۱۵,۶۶
$\text{TiFe}_2\text{O}_3$	۴,۵۴	۴,۹	۳,۸۱	۴,۳	۵,۹۹	۴,۰۶
$\text{MnO}$	۱,۴۶	۰,۸۸	۰,۵۹	۱,۶۳	۱,۹۴	۱,۷
$\text{MgO}$	۰,۱۰۸	۰,۱۲	۰,۱۳	۰,۱۰	۰,۱۳	۰,۱۸
$\text{CaO}$	۳,۳۸	۴,۱۳	۳,۶۲	۴,۱۴	۵,۶۷	۸,۵۷
$\text{Na}_2\text{O}$	۳,۶۳	۳,۱۴	۴,۲۷	۳,۳۰	۴,۸۰	۴,۶۹
$\text{K}_2\text{O}$	۳,۹۳	۳,۷۲	۳,۸۵	۴,۰۱	۳,۴۴	۳,۸۹
$\text{P}_2\text{O}_5$	۰,۱۷	۰,۱۴	۰,۱۴	۰,۱۸	۰,۱۶	۰,۱۶
$\text{BaO}$	۰,۰۷	۰,۰۶	۰,۰۶	۰,۰۷	۰,۰۶	۰,۰۵
مرجع	۹۸,۳۳		۹۸,۷۳	۹۸,۴۴	۹۸,۱۳	۹۸,۹۰

جدول ۲ نتایج تجزیه ریزپردازشی کانی پلازیوکلاز (بر حسب درصد وزنی).

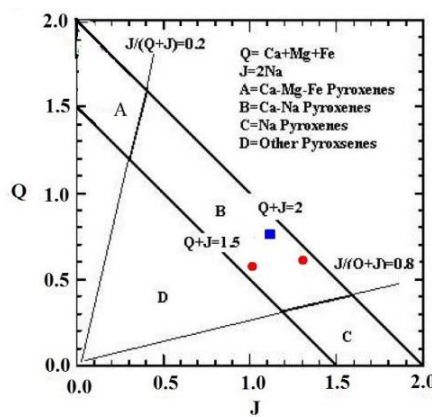
نمونه	M213	M17	M9	M213	M5	M17
سنگ	آندزیت	آندزیت	تراکی آندزیت	آندزیت	تراکی آندزیت	آندزیت
$\text{SiO}_2$	۷۰,۶۶	۶۴,۰۱	۵۳,۵۹	۶۱,۲۳	۵۷,۱۲	۷۰,۶۶
$\text{TiO}_2$	•	•	۰,۱۴	۰,۲۷	•	•
$\text{Al}_2\text{O}_3$	۱۴,۱۵	۱۵,۱۱	۲۴,۲۸	۲۰,۷۸	۲۰,۱	۱۶,۹۸
$\text{Fe}_2\text{O}_3$	۰,۲۱	۰,۳	۰,۹۳	۰,۹۵	۰,۵۸	۰,۲۲
$\text{Cr}_2\text{O}_3$	•	•	•	•	•	•
$\text{MnO}_2$	•	•	•	•	•	•
$\text{MgO}$	•	•	•	۰,۶۲	•	•
$\text{CaO}$	۲,۵۳	۰,۵۱	۱۵,۲۷	۲,۲۶	۱۲,۵۵	۰,۶۵
$\text{Na}_2\text{O}$	۱۱,۸۳	۳,۵۲	۴,۸	۷,۶۵	۶,۳۳	۱۱,۱۳
$\text{K}_2\text{O}$	۰,۱۲	۵,۷۲	۰,۸۶	۴,۹۱	۱,۱۸	۰,۱۸
$\text{ZrO}_2$	۰,۰۵	۰,۰۷	•	•	۰,۱۳	۰,۰۴
$\text{Yb}_2\text{O}_3$	۰,۴۱	۰,۷۱	۰,۰۷	•	۰,۰۷	۰,۰۵
مجموع	۹۹,۹۶	۹۹,۹۵	۹۹,۹۴	۹۸,۶۷	۹۸,۰۶	۹۹,۹۱

جدول ۳ نتایج تجزیه کانی آمفیبول (بر حسب درصد وزنی).

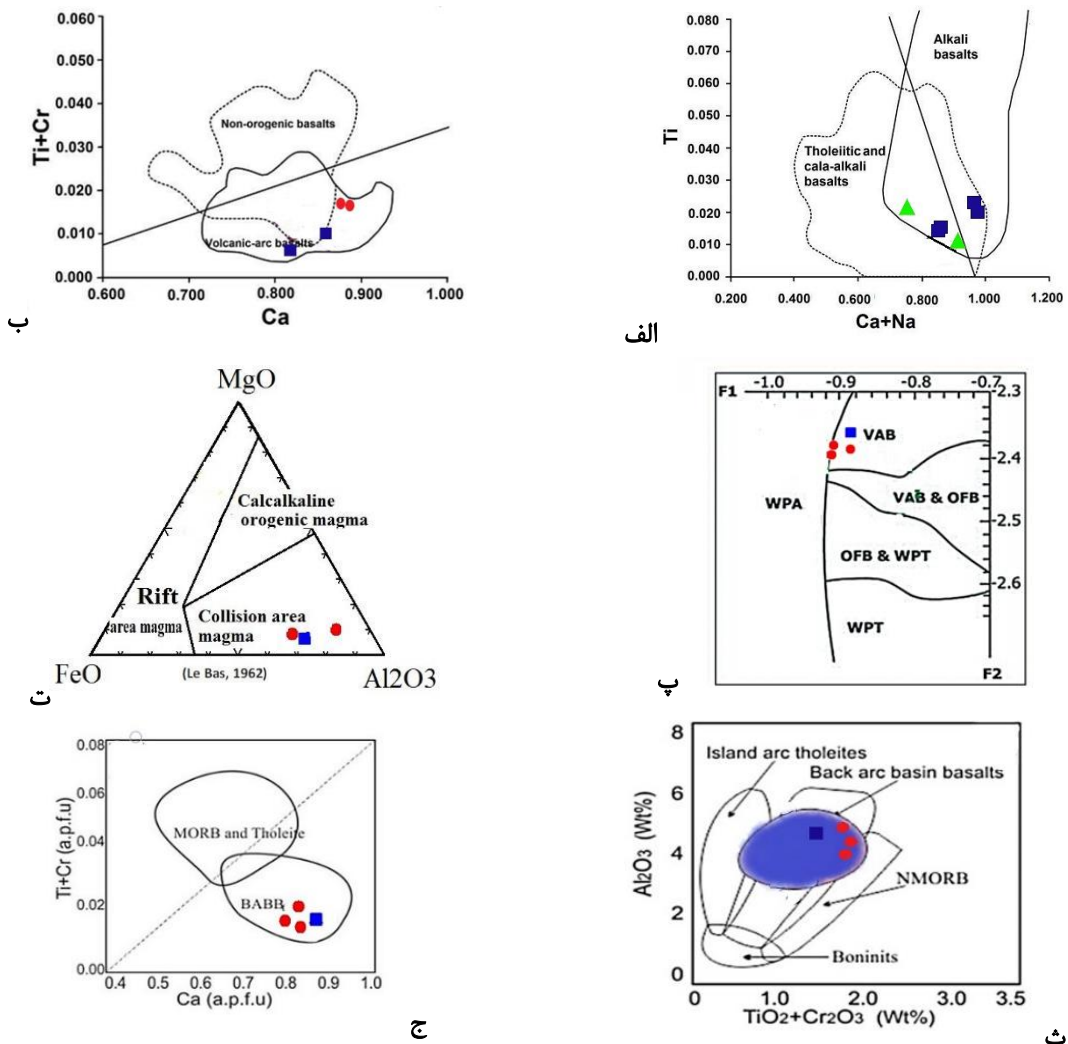
نمونه	M9	M9	M7	M7
سنگ	تراکی آندزیت	تراکی آندزیت	دادست	دادست
$\text{SiO}_2$	۴۵,۵۲	۴۵,۲۱	۴۴,۱۲	۴۴,۸۸
$\text{TiO}_2$	۱,۸۲	۱,۸۹	۱,۴۴	۱,۰۷
$\text{Al}_2\text{O}_3$	۱۰,۲۸	۱۰,۵۷	۱۲	۱۱,۵
$\text{Fe}_2\text{O}_3$	۱۰,۶۹	۱۰,۶	۱۲,۵	۱۲,۲
$\text{MnO}$	۰,۰۵	۰,۰۷	۰,۱۶	۰,۱۲
$\text{MgO}$	۱۵,۸۳	۱۵,۷۰	۱۳,۱۴	۱۴
$\text{CaO}$	۱۱,۱۳	۱۱,۳۰	۱۰,۶	۱۰,۷۵
$\text{Na}_2\text{O}$	۲,۱۲	۲,۲۲	۲,۱۸	۲,۲
$\text{K}_2\text{O}$	۰,۴۵	۰,۴۷	۰,۴۸	۰,۴۴

جدول ۴ تعیین نوع کانی پیروکسن.

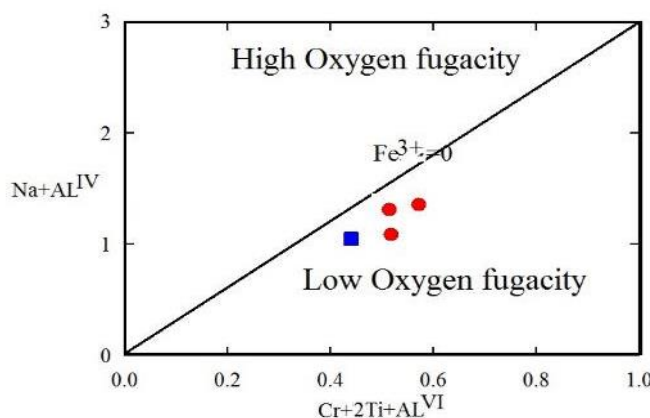
No	Wo	En	Fs	Ac
نمونه M9	۱۵,۰۵	۱۲,۰۷	۷۱,۶۸	•
نمونه M3	۵۲,۹۳	•	۲,۲۲	۴۳,۸۵
نمونه M7	۵۰,۵۴	•	۱,۹۲	۴۷,۵۵
نمونه M7	۵۱,۱۸	•	۵,۴۱	۴۳,۴۱



شکل ۳ موقعیت پیروکسن نمونه‌های مورد بررسی در نمودار Q-J [۱۹].



شکل ۴ الف-نمودار  $Ti+Cr-Ca$ ; ب-نمودار تعیین محیط زمین ساختی [۲۱] (VAB: بازالت های قوس آتششانی، WPA: بازالت های قلیایی درون صفحه ای، OFB: بازالت های توکیتی درون صفحه ای، WPT: بازالت های کف اقیانوسی، A: قلیایی، P: فوق قلیایی و S: نیمه قلیایی). ت- استفاده از کانی کلینوپیروکسن برای تعیین محیط زمین ساختی [۲۲]. ث- نمودار  $Al_2O_3$  نسبت به  $TiO_2+Cr_2O_3$  [۲۳]. ج- نسبت به  $Ca$  [۲۰]  $Ti+Cr$ .



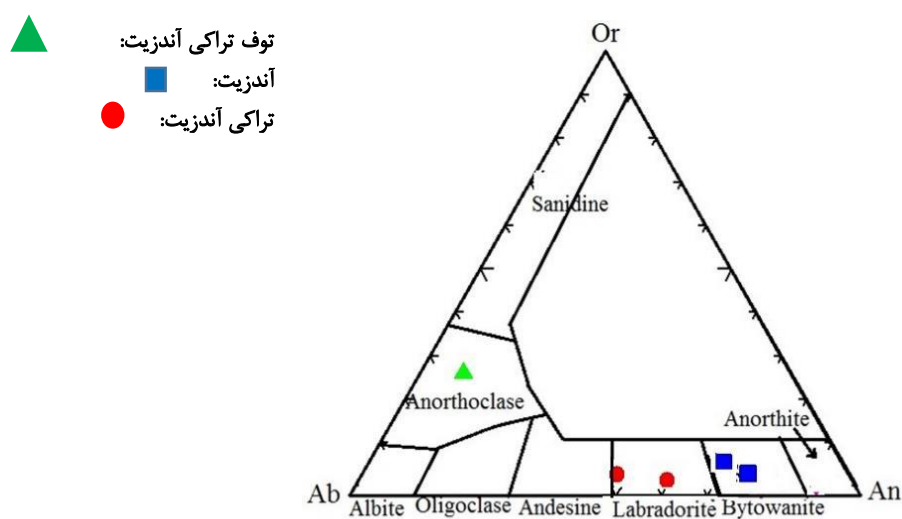
شکل ۵ نمودار  $\text{Al}^{\text{VI}} + \text{Cr} + 2\text{Ti} + \text{Al}^{\text{IV}} + \text{Na}$  نسبت به  $\text{Al}^{\text{VI}} + \text{Na}$  برآورد گریزندگی اکسیژن [۳۳].

احتمال بسیار با تبلور ایلمنیت توجیه کرد. به طوری که با تبلور ایلمنیت در مagma، عنصر Ti بجای ورود به شبکه آمفیبیول‌ها، وارد شبکه ایلمنیت شده و از نظر آمفیبیول‌های همزیست با ایلمنیت و آمفیبیول‌های متبلور شده در فازهای بعدی magma فقیر از Ti می‌شوند.

مقدار آلومینیوم چاروچهی و هشت وجهی سنگ‌های منطقه به ترتیب برابر با حدود ۱,۶ - ۰,۵ و ۰,۲ - ۰,۳۹ است. در نمودار قلیابی‌های موجود در جایگاه A نسبت به آلومینیوم چاروچهی [۴۴, ۴۳] آمفیبیول‌ها بیشتر از نوع هورنبلنند پارگازیتی (Pargasitic hornblende) هستند. به نظر برخی پژوهشگران [۴۵]، نمونه‌های پارگازیتی با غلظت  $\text{FeO}$  بیش از ۱۲ درصد وزنی در رده فروپارگازیت قرار می‌گیرند. از نمودارهای مراجع [۴۶, ۴۵] می‌توان نوع آمفیبیول اولیه و مagma را مشخص کرد. براساس هر دو نمودار نمونه‌های مورد بررسی در گستره اولیه و magma قرار دارند (شکل ۸). پارگازیت‌ها در ترکیب خود دارای Ti قابل توجهی نسبت به دیگر آمفیبیول‌ها هستند [۴۳]. در ترکیب پارگازیت‌های مورد بررسی عدد منیزیم ( $\text{Mg} = \text{Mg}/(\text{Mg} + \text{Fe})$ ) از ۰,۸۵ تا ۰,۹۱ متغیر است که وابستگی به magma مافیک را نشان می‌دهد [۴۷] و روند تغییرات افزایشی  $\text{TiO}_2$  با مقادیر ۱/۴۵ تا ۱,۹۰، کاهش  $\text{Al}_2\text{O}_3$  با مقادیر ۱۰/۲۵ تا ۱۰/۲۵، کاهش  $\text{Na}_2\text{O}$  با مقادیر ۲ تا ۲/۲۲ و کاهش  $\text{K}_2\text{O}$  با مقادیر ۰/۴۵ تا ۰/۰۵ با یکای عدد جرمی نسبت به عدد منیزیم را روند تبلور جدایشی magma میزبان هموxygenدارد و نشانگر تشکیل این کانی‌ها در سنگ‌های منطقه در اثر تبلور جدایشی است (شکل ۹).

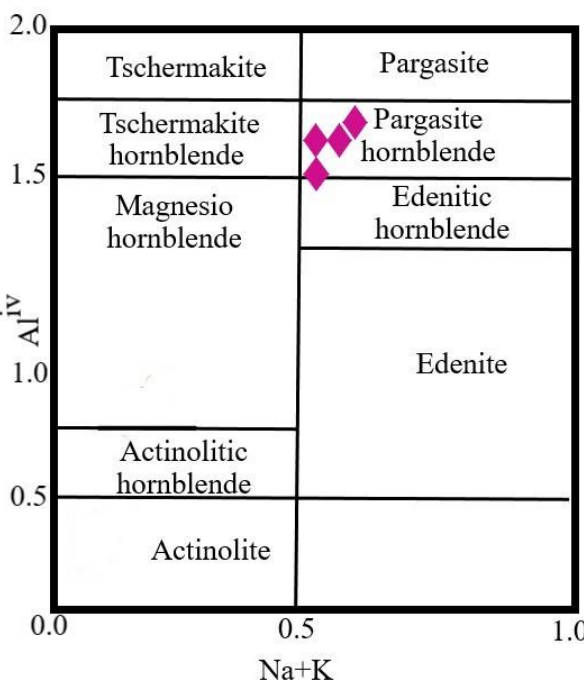
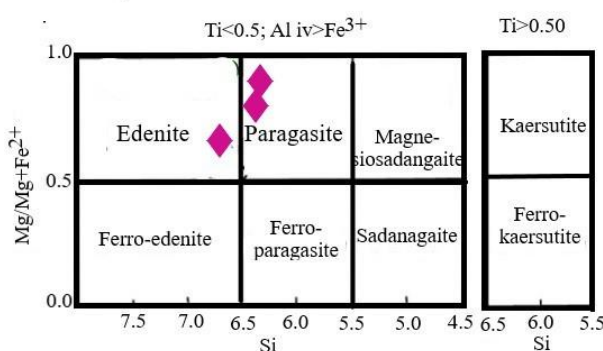
پلاژیوکلاز: پلاژیوکلاز فراوان ترین کانی در سنگ‌های منطقه است که به دو صورت درشت بلور و ریزسنگ حضور دارد. براساس نمودار مثلثی Or-Ab-An [۲۹]، پلاژیوکلاز سنگ‌های آذرین منطقه در گستره لابرادوریت و بایتونیت قرار داردند (شکل ۶) [۳۴]. فشار بخار آب، صعود ناگهانی magma و ایجاد شرایط نامتعادل magma به ترتیب باعث کاهش مقدار آنورتیت می‌شوند [۳۵].

آمفیبیول: فرمول ساختاری آمفیبیول بر پایه ۲۳ اتم اکسیژن و ۱۳ کاتیون محاسبه شده است. به باور برخی پژوهشگران [۳۶]، آمفیبیول‌های magma کمتر از ۷/۳ درصد وزنی سیلیس دارند، در حالی که آمفیبیول‌های با سیلیس بیشتر از ۷/۳ بر اثر فرایند زیر خط انجماد تشکیل شده‌اند [۳۷]. آمفیبیول‌های سنگ‌های منطقه مورد بررسی بیشتر از ۷/۳ درصد سلیس دارند و از این رو، بر اثر فرایند زیر خط انجماد شکل گرفته‌اند. بررسی‌های آزمایشگاهی نشانگر وابستگی ترکیب آمفیبیول‌ها به شیمی سنگ کل، فشار، دما و گریزندگی اکسیژن است [۴۱-۴۸]. فشار یک عامل غالب و موثر بر تفاوت بارز مقدار آلومینیوم کل آمفیبیول‌ها بوده و نیز معرف عمق جایگزینی در توده‌های نفوذی است [۴۲]. از نمودارهای مرجع [۴۳] برای تعیین نوع آمفیبیول‌ها استفاده شد (شکل ۷). بطور کلی، آمفیبیول‌های مورد بررسی از نوع غنی از Ca و Na و از این رو از نوع آمفیبیول‌های کلسیمی هستند. مقادیر BCa آنها بیشتر از ۱/۵ - ۱/۲ در سنگ‌های خروجی است. آمفیبیول‌های مورد بررسی فقیر از Ti هستند و مقدار کاتیون‌های Ti در فرمول ساختاری آنها کمتر از ۰/۵ (۰/۱۰ تا ۰/۱۹) در سنگ‌های خروجی است. کم بودن مقدار Ti در این کانی‌ها را می‌توان به



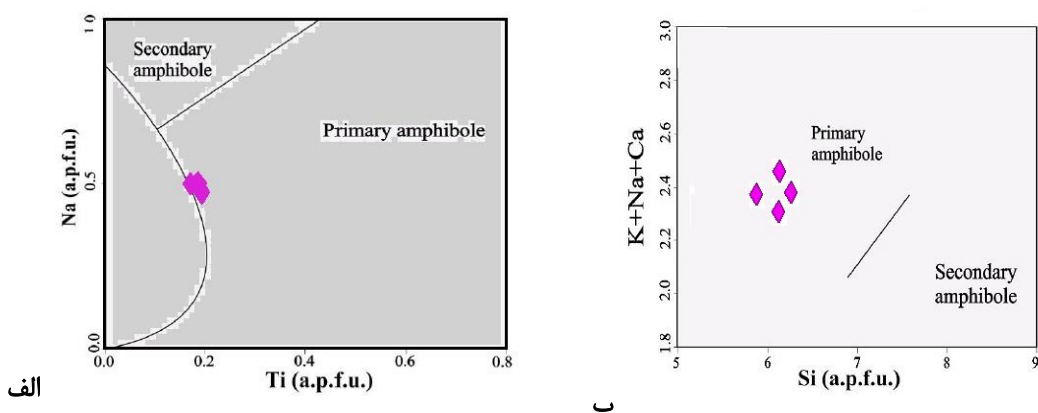
شکل ۶ تعیین ترکیب فلدسپارهای سنگ‌های آذرین منطقه [۳۴].

الف

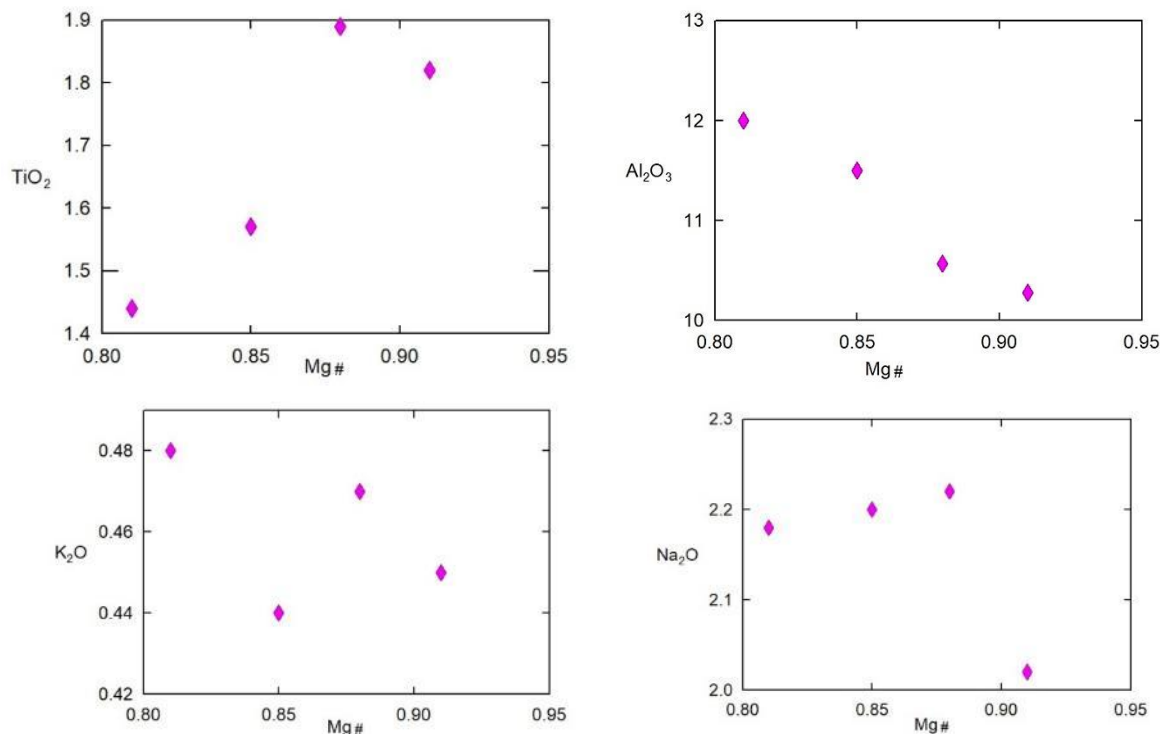


ب

شکل ۷ ردیبندی آمفیبولهای موجود در سنگ‌های آذرین منطقه براساس الف) در نمودار مرجع [۴۳] و ب- نمودار پیشنهادی مراجع [۴۴, ۴۲]



شکل ۸ الف-نمودار مرجع [۴۵] و ب-نمودار مرجع [۴۶].



شکل ۹ تغییرات اکسیدها نسبت به عدد منیزیمی [۴۸].

در فشارهای بالای ۵ کیلوبار [۵۱،۳۹]. مقدار  $AL^{iv}$  نمونه‌های مورد بررسی که بیش از ۱/۵ است، نشانگر تشکیل سنگ‌های منطقه در کرانه فعال قاره‌ای است. آمفیبول‌های موجود در مجموعه‌های نیمه قلیایی نسبت به انواع موجود در مجموعه‌های قلیایی،  $TiO_2$  مقدار کمتری دارند، اما در آمفیبول‌های با مقدار وزنی ۹-۱۴  $MgO$  درصد وزنی مقدار  $TiO_2$  به حدود ۳/۵ درصد وزنی نیز می‌رسد [۴۷]. همچنین آمفیبول‌های نیمه قلیایی، مقدار  $K_2O$ ،  $Al_2O_3$  و  $Na_2O$  کمتری نسبت به محیط

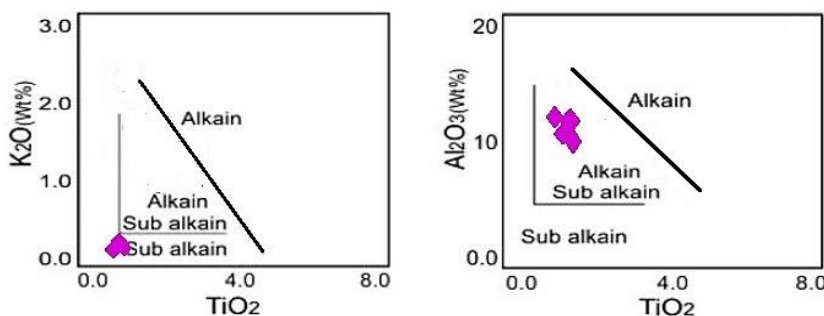
عدد  $Mg$  در آمفیبول‌ها عامل مهمی برای شناسایی خاستگاه ماقماست [۴۹] و مقدار بیش از ۰/۷ را به خاستگاه گوشته‌ای و کمتر از ۰/۵ را به خاستگاه پوسته‌ای و بین این دو مقدار را به خاستگاه آمیزه پوسته و گوشته مربوط می‌دانند [۵۰،۴۹]. عدد  $Mg$  از آنجا که در نمونه‌های مورد بررسی ۰/۸۱ تا ۰/۹۱ بوده، نشانگر خاستگاه گوشته‌ای برای مذاب تشکیل دهنده آمفیبول‌های منطقه است. ترکیب آمفیبول با ۱/۵ گویای آمفیبول‌های تشکیل شده در کرانه فعال قاره‌ای  $AL^{iv}$

بلورهای پلازیوکلاز سنگ‌های آندزیتی (PL1) در گستره فشار ۷ تا ۸ کیلوبار و دمای ۱۰۱۵ تا ۱۰۲۰ درجه سانتیگراد و سنگ‌های تراکی آندزیتی (PL2) در گستره فشار ۵,۵ تا ۶ کیلوبار و دمای ۱۰۷۵ تا ۱۰۹۵ درجه سانتیگراد متبلور شده‌اند (شکل ۱۱). چنانکه در نمودار سه تایی Ab-An-Or (شکل ۱۲) دیده می‌شود، پلازیوکلازهای نمونه‌های نمونه‌های مورد بررسی در حدود دمای ۷۵۰ تا ۱۱۰۰ درجه سانتیگراد تشکیل شده‌اند (شکل ۱۲).

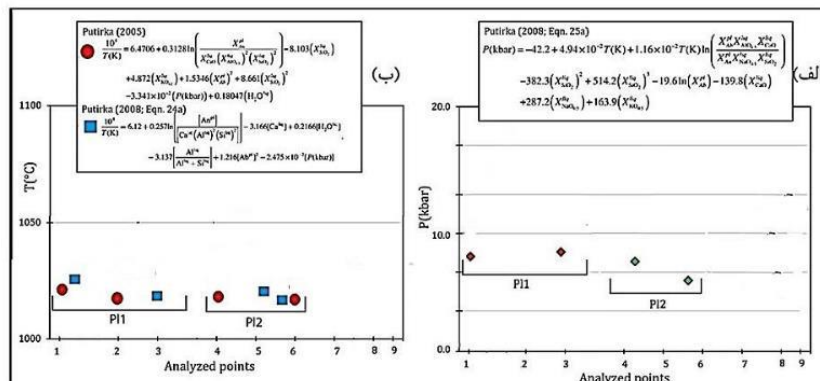
قلیایی دارند [۴۸]. نمونه‌های آمفیبول مورد بررسی دارای مقدار  $MgO$  از ۱۳,۱۴ تا ۱۶ درصد وزنی هستند و براساس نمودارهای دو متغیره  $TiO_2$  نسبت به  $K_2O$  [۴۷]، نمونه‌های آمفیبول در گستره نیمه قلیایی قرار می‌گیرند (شکل ۱۰).

#### زمین دماسنجدی و زمین فشارسنجدی دما-فشار سنجدی پلازیوکلاز

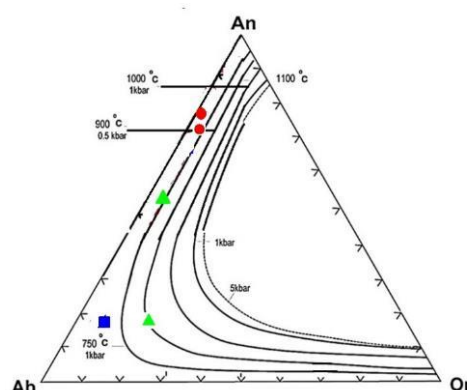
فسارسنجدی و دماسنجدی بر پایه تعادلی شیمی بلور- مذاب میزان به دو روش مختلف [۵۳,۵۲] انجام شد. بر این اساس،



شکل ۱۰ نمودارهای مرجع [۴۷]



شکل ۱۱ الف- فشارسنجدی پلازیوکلازها به روش مراجع [۵۳,۵۲]. ب- دماسنجدی پلازیوکلازها به روش مراجع [۵۳,۵۲]



شکل ۱۲ موقعیت پلازیوکلاز نمونه‌های مورد بررسی در نمودار سه تایی Ab-An-Or

است. چنانکه در شکل ۱۴ دیده می‌شود، نمونه‌های مورد بررسی زیر خط  $0 = \text{Fe}^{3+}$  قرار دارند. اوتونلو و همکاران [۲۶] بر پایه نسبت  $\text{Fe}^{3+}/\text{Fe}^{2+}$  در همیستی بلورهای پلاژیوکلاز و کلینوپیروکسن، با روابط زیر Log fO<sub>2</sub> ماقمای میزان و همچنین مقادیر بافر ( $\Delta\text{NNO}$ ) را محاسبه کردند:

$$\log \text{fO}_2 = \Delta\text{FMQ} + (82.75 + 0.00484T - 30681 / T - 24.45 \log T + 940P / T - 0.02P) \quad (۱)$$

$$\Delta\text{NNO} = \log \text{fO}_2 - (12.78 - 25073 / T - 1.1 \log T + 450P / T + 0.025P) \quad (۲)$$

بر این اساس، گریزندگی اکسیژن برای تراکی آندزیتها و داسیتها به ترتیب  $1151 - 838$  و  $23 - 30.9$  به دست آمد. مقدار بالای بافر در شیمی کانی کلینوپیروکسن از تغییرات شیمیابی گستره در بلورهای کلینوپیروکسن مورد بررسی جلوگیری کرده است. افزون بر این، در آمفیبول مقدار  $\text{Fe}^{\#} = (\text{Fe}/\text{Fe} + \text{Mg})$  نشان دهنده مقدار بالای گریزندگی اکسیژن و مقدار  $0.6$  تا  $0.8$  نشانگر گریزندگی اکسیژن متوسط است [۴۲]. مقدار  $\text{Fe}^{\#}$  بین  $0.8$  تا  $1$  نشان دهنده گریزندگی اکسیژن کم است. مقدار  $\text{Fe}^{\#}$  بلورهای آمفیبول مورد بررسی  $0.42$  تا  $0.57$  بوده که گویای گریزندگی اکسیژن بالاست. با توجه به نمودار تعیین گریزندگی اکسیژن بر اساس ترکیب آمفیبول‌ها [۴۲] گریزندگی اکسیژن در زمان تبلور آمفیبول به نسبت بالا بوده است (شکل ۱۵).

با توجه به رابطه‌ای که برای تعیین دمای هورنبلندهای همیست با پلاژیوکلازها ارائه شده است [۳۹] کمینه و بیشینه دما برای این سنگ‌ها به ترتیب حدود  $680$  و  $810$  درجه سانتیگراد است.

$$T = 25.3P + 654.9$$

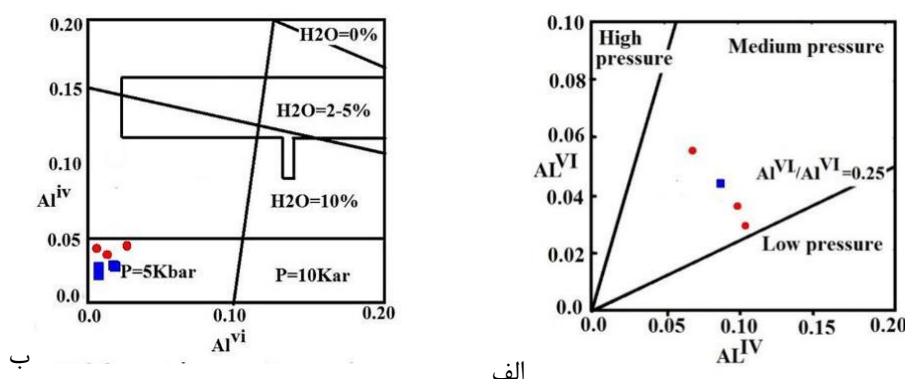
از نمودار بر پایه اکسیدهای آلومینیوم و تیتانیم موجود در کانی آمفیبول [۵۹] نیز برای برآورد دما و فشار استفاده شد. آمفیبول‌های مورد بررسی در نمودار  $\text{Al}^{\text{IV}}$  نسبت به  $(\text{Na} + \text{K})\text{A}$  یک روند خطی تقریباً بین راستهای پارگازیت و هورنبلند را نشان می‌دهند که بیانگر دمای متوسط آنهاست (شکل ۱۶). آمفیبول‌های محیط‌های فورانشی (S-Amph) مقدار  $\text{TiO}_2$  و  $\text{Na}_2\text{O}$  کمتری نسبت به آمفیبول‌های محیط‌های وابسته به کشش (I-Amph) دارند [۶۰].

واس [۵۴] پیشنهاد کرد که می‌توان از نسبت‌های  $\text{TiO}_2(\text{Mg} + \text{Mg} + \text{Fe})$  در  $\text{Ti} + \text{Al}^{\text{IV}}/\text{Si}$  و  $\text{Al}^{\text{VI}}/\text{Al}^{\text{IV}}$  پیروکسن‌ها به عنوان فشار سنج استفاده کرد. در نمودار  $\text{Al}^{\text{VI}}/\text{Al}^{\text{IV}}$  [۵۶, ۵۵] قرارگیری نمونه‌ها در گستره فشار متوسط قرار می‌گیرند (شکل ۱۳). همچنین در ساختار کلینوپیروکسن‌ها،  $\text{Cr}^{*}100/\text{Cr} + \text{Al}^{\text{VI}}$  است و نسبت  $\text{Cr}^{*}100/\text{Cr} + \text{Al}^{\text{VI}}$  در پیروکسن‌ها با فشار رابطه مستقیم دارد [۵۷]. به طوری که در کلینوپیروکسن‌ها، مقدار آلومینیوم در فشار بالا (بیش از  $3.5 \text{ Gpa}$ ) با واکنش  $\text{NaAlSi}_3\text{O}_8 = \text{NaAlSi}_2\text{O}_6 + \text{SiO}_2$  و در فشار پایین ( $-0.5 \text{ Gpa}$ ) با واکنش  $\text{CaAl}_2\text{Si}_2\text{O}_6 = \text{CaAl}_2\text{SiO}_6 + \text{SiO}_2$  کنترل می‌شود [۵۸]. واکنش نخست در عمق زیاد حدود  $120$  کیلومتری (دربردارنده گارنت پریدوتیت) و واکنش دوم در عمق کمتر از  $40$  کیلومتر روی می‌دهد. عمق مخزن ماقمایی بر پایه آلومینیوم موجود در ساختار پیروکسن‌ها تعیین شد. برخی پژوهشگران (برای مثال، [۵۵]) تاکید کرده‌اند که توزیع آلومینیوم در جایگاه‌های چاروجهی و هشت‌وجهی کلینوپیروکسن‌ها معیار مناسبی برای برآورد مقدار آب ماقما و فشار حاکم بر محیط تشکیل سنگ‌های آذرین است. با این مدل، پیروکسن‌ها در فشار  $5$  کیلوبار متبلور شده‌اند و نیز مقدار آب ماقما کمتر از  $10\%$  است (شکل ۱۳).

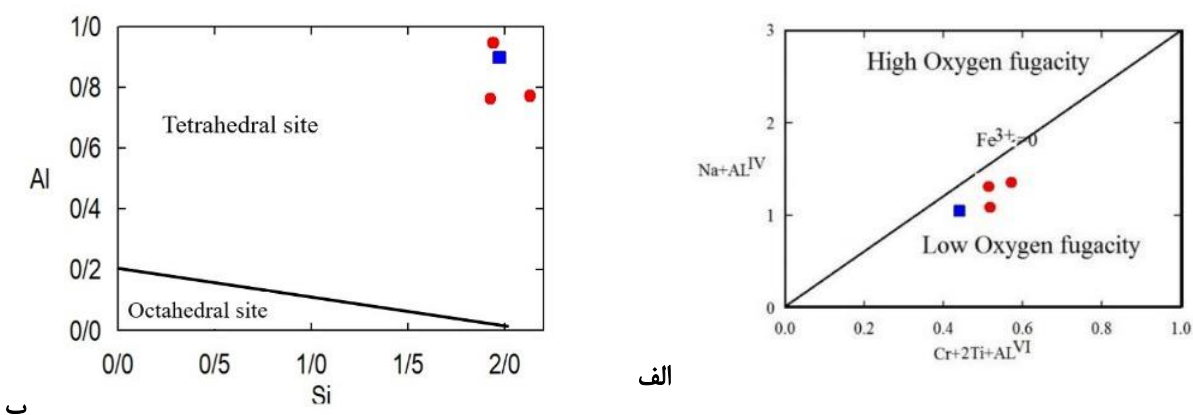
### برآورد گریزندگی اکسیژن

گریزندگی اکسیژن ( $\text{fO}_2$ ) نقش مهمی در تغییر دمای مایعات، مذاب، ترکیب بلورها، کنترل فرآیندهای ماقمایی، توالی تبلور و انواع کانی‌های متبلور دارد [۲۶, ۳۱]. از سوی دیگر،  $\text{Fe}^{3+}$  در پیروکسن‌ها بستگی به مقدار  $\text{Al}^{\text{VI}}$  دارد، به طوری که با تعادل آلومینیوم در جایگاه‌های چاروجهی و هشت وجهی در ارتباط است [۲۶].

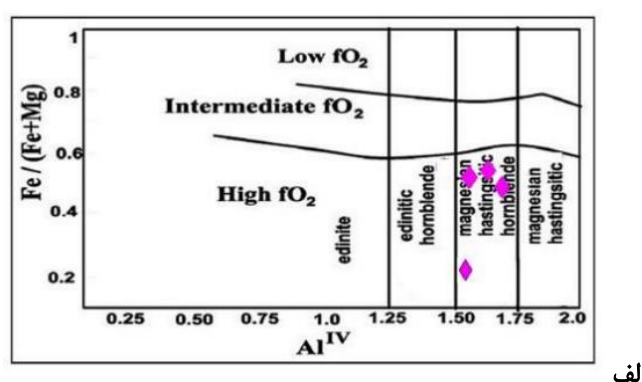
براساس نمودار  $\text{Al}^{\text{VI}} + 2\text{Ti} + \text{Cr} = \text{Al}^{\text{IV}} + \text{Na}$  نسبت به  $\text{Al}^{\text{VI}} + 2\text{Ti} + \text{Cr}$  که خود تابعی از تعداد آهن‌های سه ظرفیتی در پیروکسن‌هاست، نمونه‌های زیر خط  $0 = \text{Fe}^{3+}$  پیروکسن‌هایی هستند که در گریزندگی اکسیژن کم متبلور شده‌اند. کمرون و پیاک [۳۲] بیان کردند که هر چه فاصله نمونه‌ها از خط  $0 = \text{Fe}^{3+}$  بیشتر باشد، گریزندگی اکسیژن در محیط تشکیل آنها بیشتر



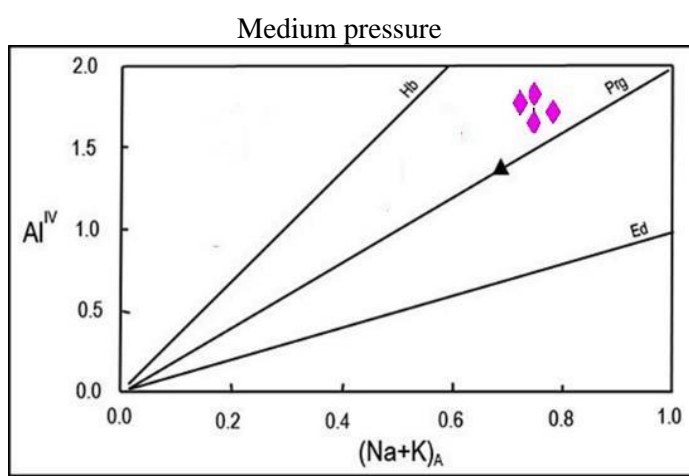
شکل ۱۳ الف- نمودار دما سنگی کلینوپیروکسن [۵۶] ب- نمودار فشار سنگی و آب سنگی کلینوپیروکسن [۵۵].



شکل ۱۴ الف- نمودار  $\text{Na} + \text{Al}^{\text{IV}}$  نسبت به  $\text{Cr} + 2\text{Ti} + \text{Al}^{\text{VI}}$  [۳۳]. ب- نمودار  $\text{Si}$  نسبت به  $\text{Al}$  از [۲۰].

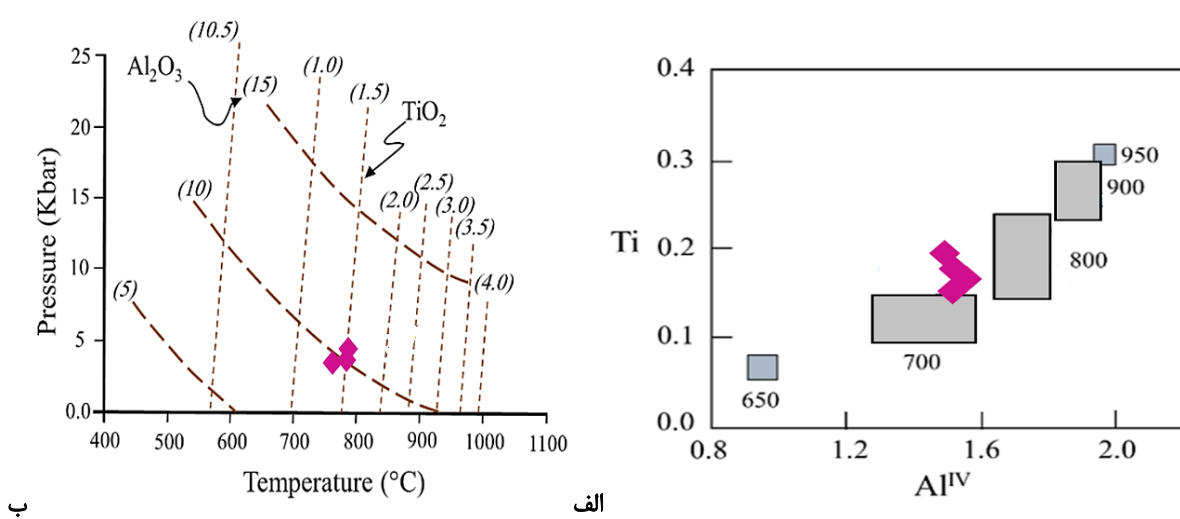


شکل ۱۵ الف- نمودار برآورد گریزندگی اکسیژن [۴۲]. ب- نمودار مرجع [۵۹].

شکل ۱۶ نمودار  $\text{Al}^{\text{IV}}/(\text{Na}+\text{K})_A$  نسبت به  $\text{Al}^{\text{IV}}/(\text{Na}+\text{K})_A$  برای آمفیبول‌ها.

مقدار  $\text{Al}^{\text{IV}}$  ناشی از افزایش Si در ساختار بلور بوده و نشانگر پیشرفت جدایش ماقم است. پیشرفت جدایش ماقمایی باعث کاهش مقدار Ti در ماقما و در نتیجه منجر به تبلور آمفیبول‌های فقیر از Ti می‌شود. هنر [۵۷] در این نمودار، جایگاه آمفیبول‌های شاخص که در فشار ثابت ۵ کیلوبار و دماهای متفاوت در یک ماقمای بازالتی تولید شده‌اند را مشخص کرده است. با در نظر گرفتن فشار ۵ کیلوبار برای تشکیل آمفیبول‌های مورد بررسی و مقایسه آن با یافته‌های او، می‌توان نتیجه گرفت که آمفیبول‌های این پژوهش در دمای ۷۰۰ تا ۷۵۰ درجه سانتیگراد تشکیل شده‌اند (شکل ۱۷).

مشخص شده است که آمفیبول‌هایی که در فشارهای متوسط متبلور می‌شوند از  $\text{TiO}_2$  فقیر هستند و اغلب کمتر از ۰/۰۸ تا ۰/۰۶ تیتانیوم (Ti) در فرمول ساختاری خود دارند و در نمودار تغییرات Ti نسبت به  $\text{Al}^{\text{IV}}$  زیر خط ۰/۰۶-۰/۰۸ در تیتانیوم قرار می‌گیرند، در صورتی که آمفیبول‌های کم فشار در دو طرف خط تفکیک یا بالای آن واقع می‌شوند [۵۹]. آمفیبول‌های مورد بررسی در بالای این خط تفکیک واقع بوده یعنی از نوع آمفیبول‌های فشار پایین هستند (شکل ۱۶). همچنان در نمودار تغییرات Ti نسبت به  $\text{Al}^{\text{IV}}$  (شکل ۱۷ الف)، با کاهش مقدار  $\text{Al}^{\text{IV}}$  مقدار Ti نیز کم می‌شود. کاهش

شکل ۱۷ الف-نمودار  $\text{Al}^{\text{IV}}$  نسبت به Ti [۶۲] و گستره‌های مشخص برای آمفیبول‌های با دمای ویژه [۵۵]. ب- نمودار مرجع [۶۲].

### برداشت

از بررسی‌های صحرایی، سنگنگاری و ترکیب کانی روی سنگ-های جنوب شرق ابهر نتایج زیرمخصوص شد که مهمترین کانی-های تشکیل دهنده این سنگ‌ها کلینوپیروکسن، آمفیبول و پلازیوکلاز هستند که براساس بررسی شیمی کانی‌ها، کلینوپیروکسن‌ها دارای ترکیب دیوپسید و اوژیت و آمفیبول-های این توده‌ها از نوع آمفیبول‌های کلسیمی و زیر گروه مگنتیزوهاستنگریت هستند. پلازیوکلازها فراوان‌ترین کانی این سنگ‌ها بوده و از نوع الیکوکلاز-آندزین و لاپرادوریت هستند. بر اساس دما سنجه هورنبلند-پلازیوکلاز، دما ۷۴۵-۷۱۲ درجه سانتیگراد و فشار ۵-۶ کیلوبار را می‌توان برای تبلور این کانی‌ها در سنگ‌های آذرین منطقه در نظر گرفت. افزون بر این، بر اساس ترکیب شیمیایی آمفیبول وجود اکسیدهای آهن، کانی‌های تیتانیوم و همچنین نمودارهای تعیین گریزندگی اکسیژن در کلینوپیروکسن‌های سنگ‌های منطقه، به نظر می‌رسد که گریزندگی اکسیژن ماقمای تشکیل‌دهنده آنها تقریباً متوسط بوده است. سرانجام، بررسی جایگاه زمین ساختی این توده‌های سنگی بر اساس شیمی کانی کلینوپیروکسن و آمفیبول نشان‌دهنده ارتباط سنگ‌های منطقه با کرانه فعال قاره‌ای است.

### قدرتانی

نگارندگان لازم می‌دانند از همکاری مسئولین آزمایشگاه دانشگاه آزاد اسلامی واحد علوم و تحقیقات در مراحل انجام مطالعات میکروسکوپی و آنالیزهای ژئوشیمیایی صمیمانه تشکر نموده و همچنین از پیشنهادات سازنده داوران محترم که در ارتقاء کیفیت این مقاله بسیار تاثیر گذار بوده است، سپاسگزاری نمایند.

### مراجع

- [1] Larson E.S., Irving J., Gonyer F.A., Larson E.S., "Petrologic results of a study of the minerals from the tertiary volcanic rocks of the San Juan region ", Colorado. Am Mineral, (1938), 23, 227-257.
- [2] Finch R.H., Anderson C.A., "The Quartz basalt eruptions of Cinder Cone, Lassen Volcanic National Park", California. Cal Univ Pubs Geol Sci, (1930), 19, 245-273.

### دما سنجه بر پایه زوج آمفیبول-پلازیوکلاز

از روش‌های معمول زمین‌دما سنجه استفاده از زوج کانی آمفیبول-پلازیوکلاز است. در این روش، برای اندازه‌گیری دما باید از آمفیبول‌های دارای مرزهای عادی و بدون لبه واکنشی (اکتینولیتی) استفاده کرد. همچنین برای دما سنجه سنگ‌های بدون کواتز باید مقدار XM4Na در ترکیب آمفیبول بیش از ۰.۰۳، مقدار AL<sup>VI</sup> بیش از ۱/۸ و مقدار Si بین ۶ تا ۷/۷ باشد.

برای دما سنجه رابطه زیر پیشنهاد شده است [۶۳]:

$$T = \{(0.677P(kbr) - 48.98 + Y_{Ab}) / (-0.0429 - 0.008314 \ln K)\} \text{ and } K = \{(Si-4) / (8-Si)\} X_{Ab}^{plag}$$

$$X_{Ab} > 0.5, Y_{Ab} = 0$$

$$X_{Ab} < 0.5, Y = -8.06 + 25.5(1-X_{Ab})^2$$

در این رابطه، T دما بر حسب کلوین، Si تعداد کاتیون‌های سیلیسیم در فرمول آمفیبول P فشار بر حسب کیلوبار و درصد مولی آلبیت در پلازیوکلاز هستند.

بر این اساس دمای آمفیبول و پلازیوکلازهای در حال تعادل نمونه‌های منطقه در گستره دمایی ۷۱۲ تا ۷۴۵ درجه سانتیگراد به دست آمد.

در یک روش دما سنجه دیگر که مانند روش پیشین وابسته به مقدار Ti در فرمول ساختاری آمفیبول است، اگر مقدار Ti در فرمول ساختاری آمفیبول کمتر از ۰.۰۸ باشد، دما از رابطه زیر محاسبه می‌شود [۶۱]:

$$T(^{\circ}\text{C}) = (2816 * Ti) + 445$$

اما اگر مقدار Ti در فرمول ساختاری آمفیبول بیشتر از ۰.۰۸ باشد، دما از رابطه زیر به دست می‌آید

$$T(^{\circ}\text{C}) = (980 * Ti) + 600$$

در ترکیب آمفیبول‌های موجود در سنگ‌های آذرین هورنبلندار منطقه  $Ti > 0.08$  است که براساس رابطه (۶)، دمای تبلور آمفیبول در نمونه‌های منطقه از ۷۷۶ تا ۷۸۶ درجه سانتیگراد متغیر است.

بر پایه روش‌های فشار‌سنجه زیر، بین Al در ترکیب آمفیبول و فشار تبلور رابطه خطی وجود دارد [۶۴-۶۶].

$$P(\text{kbar}) = -4.76 + 5.64 \text{Al total}, r^2 = 0.97$$

$$P(\text{kbar}) = -3.01 + 4.76 \text{Al total}, r^2 = 0.99$$

$$P(\text{kbar}) = -3.92 + 5.03 \text{Al total}, r^2 = 0.80$$

بر اساس روابط بالا، گستره فشار ۵ تا ۶/۲ کیلوبار برای نمونه‌ها به دست آمد.

- [15] Zarei Sahamieh S.R., "Petrography, Petrology and geochemistry of volcanic rocks of North Abhar and its related to mineralizationin the studied area". (1988), M.Sc. Thesis, Faculty of Science, Tarbiat Moallem University(in persian).
- [16] Esmaili M, Lotfi M, Nazafati N., "Mineralogy and genesis of Khalifalu copper deposit based on geochemical data of the host rock and S and O isotopic characteristics". Earth Sciences Quarterly, 110(2017), 33-46.
- [17] Hirayama K., Haghipour A., Hahian J., "Geology of the Zanjan area: The Tarom district, eastern part". Geology, 28 (1965), 330.
- [18] Poldervaart A., Hess H.H., "Pyroxenes in crystallisation of basaltic magmas". Journal of Geology, 59 (1968), 472–489.
- [19] Leterrier J., Maury R.C., Thonon P., Girard D., Marchal M., "Clinopyroxene composition as a method of identification of the magmatic affinities of paleo-volcanic series". Earth and Planetary Science Letters, 59 (1982), 139-154.
- [20] Nisbet E.G., Pearce J. A., "Clinopyroxene composition in mafic lavas from different tectonic settings". Contributions to Mineralogy and Petrology, (1977), 63: 149-160.
- [21] Le Bas M.J., "The role of aluminum in igneous Clinopyroxenes with relation to their parentage". American Journal of Science, 260 (1962), 267-288P.
- [22] Hout F., Hebert R., Varfalvy V., Beaudin G., Wang CS., "The Beimarang Mélange (southern Tibet) brings additional constraints in assessing the origin, metamorphic evolution and obduction processes of the Yarlung Zangbo ophiolite", Journal of Asian Earth Sciences 21 (2002), 307–322
- [23] Davis G. H., Stephen J., Reynolds C., Kluth F., "Structural Geology of Rocks and Regions, 3rd Edition". Structural geology. (2011), 864 Pages.
- [24] McKenzie D. P., ONiins R. K., "The source regions of ocean island basalts". Journal of Petrology, 36 (1995), 133-159.
- [25] France L., Koepke J., Ildefonse B., Cichy S. B., Deschamps F., "Hydrous partial melting in the sheeted dike complex at fast-spreading ridges: Experimental and natural observations", (2010) DOI:10.1007/s00410-010-0502-6.
- [26] Ottonello G., Moretti R., Marini L., Vetuschi Zuccolini M., "Oxidation state of iron in silicate glasses and melts: A thermochemical model". [3] Fenner R.H., "The Katmai magmatic province". Journal Geology, (1926), 34, 673-772.
- [4] Barth T.W., "Temperatures in lavas and magmas and a new geologic thermometer". Naturen 6, (1934), 187-192.
- [5] Moid M., "Petrographic and petrochemical investigation of volcanic plutonic belt rocks of Tarem region in relation to copper genesis", M.Sc. (1370), Tabriz University (in persian).
- [6] Khalat Bari Jafari M., Akbari M., Qalamgash J., "Geology, lithology and magmatic evolution of Eocene volcanic rocks in the Agh Dagh area, north-east of Abhar", Kharazmi Geology Journal, (2015), 33-60 (in persian).
- [7] Sabzehei M., "Les Mélanges ophiolitiques de la région d'Esfandagheh (Iran méridional) : étude pétrologique et structurale, interprétation dans le cadre iranien", These Doct. Etat, University. Grenoble, (1974), 306.
- [8] Ashja Ardalan A., Emami, M.H., "Petrology of Upper Tarom plutonism (Kouhian area)". Basic Sciences (Islamic Azad University), 15(57) (1384), 250-270. SID. <https://sid.ir/paper/70465/fa>
- [9] Hakimi Asiabar S., Pourkarmani M., Shahriari S., Ghasemi M.R., Ghorbani M., "Tectonic-sedimentary divisions of Western Alborz", Scientific-Research Journal of Basic Science, 81 (2018), 113-124, Islamic Azad University, Science and Research.
- [10] Hakimi Asiabar S., Bagheriyan S., "Exhumation of the Deylaman fault trend and its effects on the deformation style of the western Alborz belt in Iran". International Journal of Earth Sciences, 107(2) (2018), 539-551.
- [11] Stocklin J., "Structural history and tectonics of Iran, A review". AAPG Bulletin 52,7(1968), 1229-1258.
- [12] Daneshvar N., Maanijou M., Azizi H., Asahara Y., "Petrogenesis and geodynamic implications of an Ediacaran (550 Ma) granite complex (metagranites), southwestern Saqqez, northwest Iran". 132(2019), Journal of Geodynamics. <https://doi.org/10.1016/j.jog.2019.101669>.
- [13] Nabavi M.H., "An Introduction to Geology of Iran". (1976), Geological Survey of Iran.
- [14] Annells R.N., Arthurton R.S., Bazely R.A., Davies R.G., "Explanatory text of the Qazvin and Rasht quadrangle map1:250000", GSI. Rep., nos. E3, E4, (1975), 94p.

- mineral names", European Journal of Mineralogy, 9 (1997), 623-651..*
- [37] Agemar T., Worner G., Heumann A., "Stable isotopes and amphibole chemistry on hydrothermally altered granitoids in the North Chilean Precordillera: a limited role for meteoric water", Contributions to Mineralogy and Petrology, 136 (1997), 331-344.
- [38] Cawthorn P.C.G., "Davies, Amphibole fractionation in calc-alkaline magma genesis", American journal of sciences, 276 (1982), 309 – 329.
- [39] Vyhnař C. R., McSween H. Y., Speer J. A., "Hornblende chemistry in southern Appalachian granitoids Implications for aluminum hornblende thermobarometry and magmatic epidote stability", American Mineralogist, 76 (1991), 176-188.
- [40] Anderson J. L., "Proterozoic anorogenic granite plutonism of North America", Geological Society of America Memoir, 161 (1983), 133-152.
- [41] Leake B.E., Woolley A.R., Arps C.E.S., Birch W.D., Gilbert M.C., Grice J.D., Hawthorne F.C., Kato A., Kisch H.J., Krivovichev V.G., Linthout K., Laird, J., Mandarino J.A., Maresch W.V., Nickel E.H., Rock N.M.S., Schumacher J.C., Smith D.C., Stephenson N.C.N., Ungaretti L., Whittaker E.J.W., Youzhi G., "Nomenclature of amphiboles: report of the subcommittee on amphiboles of the International Mineralogical Association Commission on New Minerals and Mineral Names", Canadian Mineralogist, 35 (1997), 219-246
- [42] Anderson J.L., Smith D. R., "The effects of temperature and  $fO_2$  on the Al-in-hornblende barometer" American Mineralogist, 80 (1995), 549-559
- [43] Leake B. E., Woolley A. R., Birch W. C., Gilbert M. C., Grice J. D., Hawthorne F. C., Kato A., Kisch I.I.J., Krivovichev V.G., Linthout K., "metamorphism", Journal of Petrology", 18 (1977), 53- 72.
- [44] Mevel C., "Metamorphism in oceanic layer 3. Gorringe Bank, Eastern Atlantic", Contributions to Mineralogy and Petrology 100 (1988) 496-509.
- [45] Brandriss M. E., Nevle R. J., Bird D. K., O'Neil J. R., "Imprint of meteoric water on the stable isotope compositions of igneous and secondary minerals, Kap Edvard Holm Complex, East Greenland", Contributions to Mineralogy and Petrology, 121(1995), 74-86.
- Geochemistry Geology. 174 (2001), 157–179. doi:10.1016/S0009 2541(00)00314-4.
- [27] Kilinc A., Carmichael I.S.E., Rivers M.L., Sark R. O., "The ferric-ferrous ration of natural silicate liquids equilibrated in air". Contributions to Mineralogy and Petrology, 83 (1983), 136-140. DOI: <https://doi.org/10.1007/BF00373086>.
- [28] Kress V.C., Carmichael I.S.E., "The compressibility of silicate liquids containing  $Fe_2O_3$  and the effect of composition, temperature, oxygen fugacity and pressure on their redox states", 108 (1991), 82-92.
- [29] Deer W.A., Howie R.A., Zussman J., "An introduction to the Rock-Forming Minerals", 17th Edition, Longman, London, (1991). DOI: 10.3749/canmin.51.4.663.
- [30] Moretti R., "Polymerisation, basicity, oxidation state and their role in ionic modeling of silicate melts", Annales Geophysicae 56 (2005): 340–368.
- [31] Botcharnikov R. E., Koepke J., Holtz F., McCammon C., Wilke M., "The effect of water activity on the oxidation and the structural state of Fe in a ferro-basaltic melt", Geochimica et Cosmochimica Acta 69 (2005) ,5071-5085. DOI: 10.1016/j.gca.2005.04.023.
- [32] Cameron M., Papike J., "Structural and chemical variations in Pyroxenes", American Mineralogist, 66 (1981), 1-50.
- [33] Schweitzer E.L., Papike J.J., Bence A.E., "Clinopyroxenes from deep-sea basalts: A statistical analysis". Geophysical Research Letters, 5 (7) (1978), 573-57. DOI:10.1029/GL005i007p00573.
- [34] Stewart D.B., Roseboom E. H., "Lower temperature termintiona of the three\_phase region plagioclase\_alkali feldspar\_liquid", Journal of petrology 3 (1962) 280 \_315.
- [35] Ahmadi A., Firouzkhoohi Z., Moridi farimani AA., Lentz D., "Geochemical and textural characteristics of plagioclase, evidence from open system processes; A case study of the Bazman volcano (Southeast of Iran)", Iranian Journal of Crystallography and Mineralogy, 2 (2017), 367-380.
- [36] Leake B. E., Commission I.M.A., "Nomenclature of amphiboles of the subcommittee on amphiboles of the international mineralogical association commission on new minerals and

- [57] Nimis P., Taylor, W.R., "Single-clinopyroxene thermobarometry for garnet peridotites. Part I. Calibration and testing of a Cr-in-Cpx barometer and an enstatite-in-Cpx thermometer", Contributions to Mineralogy and Petrology, 139 (2000), 541–554.
- [58] Green D.H., Ringwood A.E., "An experimental investigation of the gabbro to eclogite transformation and its petrological applications", Geochimica et Cosmochimica Acta, 31 (1967), 767-833.  
[http://dx.doi.org/10.1016/S0016-7037\(67\)80031-0](http://dx.doi.org/10.1016/S0016-7037(67)80031-0).
- [59] Hynes A., "A comparison of amphiboles from medium- to low- pressure metabasite", Contributions to Mineralogy and Petrology, 81 (1982), 119- 125.
- [60] Coltorti M., Bonadiman C., Faccini B., Grégoire M., O'Reilly S.Y., Powell W., "Amphiboles from suprasubduction and intraplate lithospheric mantle". Lithos, (2007), 99(1–2): 68–84.
- [61] Nyman M. W., Tracy R. J., "Petrological evolution of amphibolite shear zones, Cheyenne Belt, Southeastern Wyoming, USA". Journal of Metamorphic Geology, 11 (1993), 757-773.
- [62] Ernst W. G., Liu J., "Experimental phase – equilibrium study of Al- and Ti- contents of calcic Amphibole in MORB – A semi-quantitative thermobarometer", American Mineralogist, 83 (1998), 952- 969.
- [63] Colombi A., "Metamorphisme et geochemie des roches mafiques des Alpes ouest-centrales. Memoires de Geologie", Universite de Lausanne, 4(1989).
- [64] Hollister L. S., Grissom G. C., Peters E. K., Stowell H. H., Sisson V. B., "Confirmation of the empirical correlation of Al in hornblende with pressure of solidification of calc-alkaline plutons", American Mineralogist, 72 (1987) 231-239
- [65] Schmidt M. W., "Amphibole composition in tonalite as a function of pressure: an experimental calibration of the Al-in-hornblende barometer", Contributions to Mineralogy and Petrology, 110 (1992), 304-310.
- [66] Hammarstrom J.M., Zen E., "Aluminum in hornblende: An empirical igneous geobarometer", American Mineralogist 71 (1986), 1297-1313.
- [46] Sial A. N., Ferreira V. P., Fallick A. E., Jeronimo M., Cruz M., "Amphibole- rich clots in New Mineral Names". The Canadian Mineralogist, 35(1997), 219-46.
- [47] Molina J. F., Scarrow J. H., Montero P. G., "High-Ti amphibole as a petrogenetic indicator of magma chemistry: evidence for mildly alkali hybrid melts during the evolution of Variscan basic– ultrabasic magmatism of Central Iberia", Contribution to Mineralogy and Petrology, 158 (2009), 69-98.
- [48] Tiepolo M., Tribuzio R., Langone, A., "High-Mg andesite petrogenesis by amphibole crystallization and ultramafic crust assimilation: evidence from Adamello hornblendites (Central Alps, Italy) ", Journal of Petrology, 52 (2011), 1011-1045.
- [49] Xie Y. W., Zhang Y. Q., "Peculiarities and genetic significance of hornblende from granite in the Hengduanshan region". Acta Mineral Sin (in Chinese), 10(1990), 35-45.
- [50] Huaimin X., Shuwen D., Ping J., "Mineral chemistry, geochemistry and U-Pb SHRIMP zircon data of the Yangxin monzonitic intrusive in the foreland of the Dabie orogen science in China" Earth Sciences, 49(2006), 684-695.
- [51] Miyashiro A., "Volcanic rock series in island arcs and active continental margins", America Journal of Science, 274 (1974), 321-355.
- [52] Putirka K.D., " Igneous thermometers and barometers based on plagioclase + liquid equilibria: Tests of some existing models and new calibrations", American Mineralogist, (2005) 336-346. 10.2138/am.2005.1449
- [53] Putirka K.D., "Thermometere and barometers for volcanic systems". Reviews in Mineralogy and Geochemistry, 69 (2008) :61-120.
- [54] Wass S. Y., "Multiple origins of clinopyroxenes in alkali basaltic rocks" Lithos, 12(2) (1979), 115-132.
- [55] Helz R.T., "Phase reactions of basalts in their melting range at  $\text{PH}_2\text{O}=5\text{kb}$ ". Part II. Melt composition", Journal of Petrology, 17(1983), 139-193.
- [56] Aoki K., Shiba I., "Pyroxenes from lherzolite inclusions of Itinome-gata, Japan", Lithos, 6 (1973), 41–51.